

東海大学工学部 正金晃 宇都一馬

川崎地質 正会員 池田瑞夫

1. まえがき 一次元波動方程式が適用できる範囲内で有効な加速度の測定法であるヒズミ差分法について、既に筆者らは発表したが<sup>(1),(2)</sup>、今回は差分周波数差分誤差について補足しヒズミ波の周波数範囲より、ゲージ周波数の決定方法と測定に於ける注意点について述べる。

2. ヒズミ差分法に於ける加速度測定の原理 細長い弾性棒の運動か一次元波動方程式の適用範囲を考えない場合で、その時存在する伝波の伝播速度は波長に拘束しないものとする。一次元波動方程式は(1)式で表わされ、(2)式で表わされる。(2)式をxまたはtで微分すると(3)、(3)'式を得る。

$$\frac{\partial^2 u}{\partial t^2} = C^2 \frac{\partial^2 u}{\partial x^2} \quad \dots \dots (1) \quad u = f(x+ct) + g(x-ct) \quad \dots \dots (2)$$

$$\frac{\partial^2 u}{\partial t^2} = f'(x+ct) + g'(x-ct) \quad \dots \dots (3) \quad \frac{1}{C} \frac{\partial^2 u}{\partial x^2} = f'(x+ct) - g'(x-ct) \quad \dots \dots (3)'$$

さうに(3)を $x$ で、(3)'を $t$ で微分すると(4)、(4)'を得る。ここで式(4)の左辺をヒズミ差分形に直すと(5)式となる。 $\hbar$ は差分周波数で十分小さな値で(5)式の等号は成立するものとする。式(4)'と式(5)より(6)式を得、これかヒズミ差分形加速度測定の基本式である。 $\frac{\partial^2 u}{\partial x^2} = f''(x+ct) + g''(x-ct) \quad \dots \dots (4)$

$$\left( \frac{\partial u}{\partial x} - \frac{\partial u}{\partial x_2} \right) \frac{1}{\hbar} = f''(x+ct) + g''(x-ct) \quad \dots \dots (5) \quad \frac{\partial^2 u}{\partial t^2} = \frac{C^2}{\hbar} \left( \frac{\partial^2 u}{\partial x^2} - \frac{\partial^2 u}{\partial x_2^2} \right) \quad \dots \dots (6)$$

3. 差分周波数による差分誤差 波長入、伝播速度 $C$ の純波がX軸方向に進行し、この波のヒズミをゲージ長 $L$ のゲージで測定する場合に於いてヒズミ波を(7)式の様に仮定する。ゲージ長 $L$ の中点 $X=x_0$ に於けるヒズミは、(8)式で表わされ、その中心差分は(9)式の様になる。

$$e(x,t) = E_0 \cos [2\pi(x-x_0)/\lambda] \quad \dots \dots (7) \quad \bar{e}(x_0,t) = \frac{1}{L} \int_{x_0-\frac{L}{2}}^{x_0+\frac{L}{2}} e(x,t) dx = \frac{\lambda}{\pi L} E_0 \{ 2\pi(x_0-ct)/\lambda \} \sin \frac{\pi L}{\lambda} \quad \dots \dots (8)$$

$$S\bar{e}(x_0,t) = \bar{e}(x_0+\frac{L}{2},t) - \bar{e}(x_0-\frac{L}{2},t) = -2 \frac{\lambda}{\pi L} E_0 \sin \frac{\pi L}{\lambda} \sin \frac{\pi h}{\lambda} \sin [2\pi(x_0-ct)/\lambda] \quad \dots \dots (9)$$

従つて差分による誤差は、式をひんて除したものと(7)式を $x$ で微分

$$したものの比とある。これをもととすると $\epsilon = \frac{\lambda^2}{\pi^2 L^2} \sin \frac{\pi L}{\lambda} \sin \frac{\pi h}{\lambda} \quad \dots \dots (10)$$$

こちを周波数に廻してグラフ化したのが図1である。 $(C=5/20 m/s, L=2mm)$

#### 4. ゲージ周波数と実際的な測定範囲

図2は(9)式の $E_0$ に対して $\hbar$ と $f$   
(= $1/\lambda C$ )を変化させた図である。初期の傾きは微分特性を示している。図よりヒズミ出力が解れば差分による出力電圧は既定できる。 $E_0 = 1(hf/c = 0.5, 位相90^\circ)$ 以上では位相歪の影響と、 $h/f \approx 2$ (位相360°)の点の負のアーチを考慮し、この周波数で利得を10倍に落すとすると $f_c = \frac{1}{10} \cdot \frac{C}{h}$ の  
しゃ断周波数を持つL·P·Fを使用する事になり高域では $f_c = 9/5h$ が測定範囲となる。低域での測定範囲については微分そのものが低域では波形性を持った標準貫入試験等より経験的にノイズの大きさはヒズミに換算して10dB程度である所から $\frac{dh}{C} < 10^{-5}$ となる。なお利得は $h$ に比例するので、応力波形の上限を考慮してゲージ周波数を決定する事が望しい。

5.まとめ ヒズミ差分法による加速度測定の場合、そのゲージ周波数差分誤差を決定し、又周波数範囲の上限を大きくとると、出力が小さくなる困難があるが、機械的インピーダンスによるヒズミマッテン等の問題がない。ヒズミ差分による加速度波形を積分すると速度、変位波形が得られるが、この場合ヒズミ出力をL·P·Fを通してから差分を行い、それを積分するのかよい。

#### 6. 参考文献

(1)宇都冬木、森原；ヒズミ差分による新しい加速度の測定法、東洋大学工芸研究会要 1973-1

(2)宇都、森原；ヒズミ差分法による高い加速度の測定、昭和47年秋の土建工学研究発表会

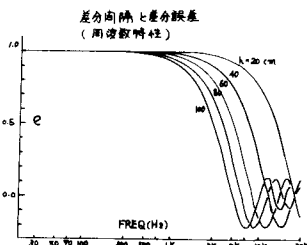


図-1

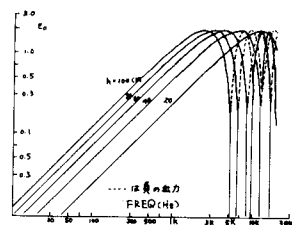


図-2